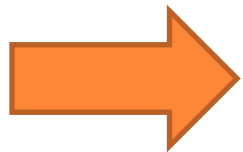


**RILASSAMENTO STRUTTURALE
E MOTO COOPERATIVO
VICINO ALLA TRANSIZIONE VETROSA
COLLOIDALE**

Simone De Camillis

AVVICINANDOSI ALLA TRANSIZIONE VETROSA

- Il liquido aumenta la sua viscosità
- Rallenta la dinamica macroscopica
- Il sistema tende ad un arresto strutturale



Microscopicamente il vetro mantiene
una struttura liquida



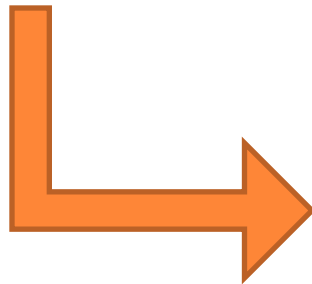
IL RILASSAMENTO STRUTTURALE

Rallentamento della
dinamica



Confinamento delle
particelle nella “gabbia”
dei primi vicini

Il rilassamento strutturale è dovuto al
riarrangiamento di queste gabbie.



Diffusione della
particella nel campione



SOSPENSIONI COLLOIDALI

Sono un eccellente modello di sfere rigide

Variabile termodinamica: frazione in volume $\phi = nV_p$

Particelle di Polimetilmetacrilato con $r = 1.18 \mu\text{m}$

Aquisizione delle immagini con un microscopio confocale su
un volume $69\mu\text{m} \times 65\mu\text{m} \times 14\mu\text{m}$

Forma il vetro per $\phi > \phi_G \approx 0.58$

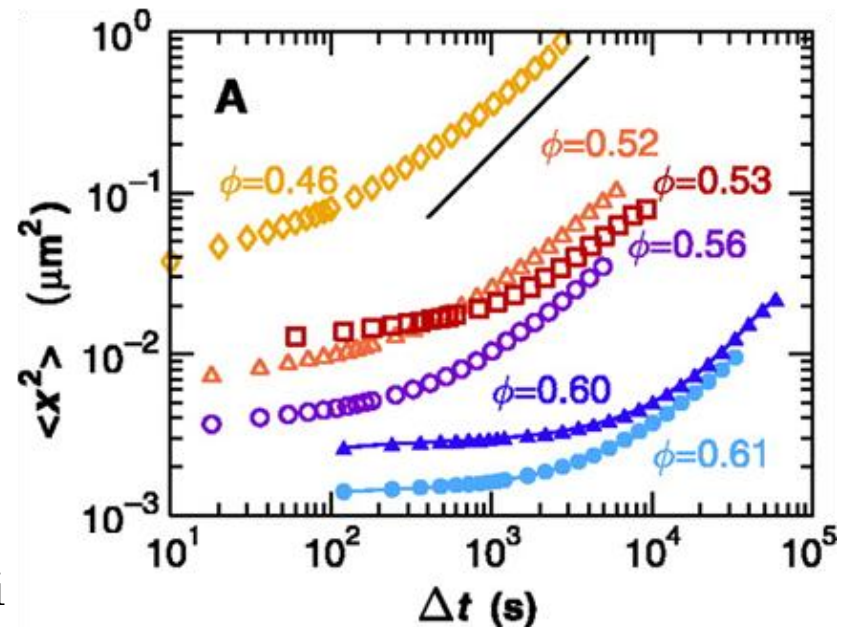


TEMPO DI RILASSAMENTO STRUTTURALE

Spostamento quadratico medio (MSD)

- regime sottodiffusivo: plateau a tempi brevi (gabbia)
 $\langle \Delta x^2 \rangle \approx t^\alpha$ con $\alpha < 1$
- aumentando la frazione in volume diminuisce lo $\langle \Delta x^2 \rangle$ del plateau e si incrementa l'effetto di gabbia
- a tempi più lunghi il moto diventa di tipo diffusivo, con costante D_∞

Grafico: Fonte [1]
La pendenza della retta è 1.



TEMPO DI RILASSAMENTO STRUTTURALE

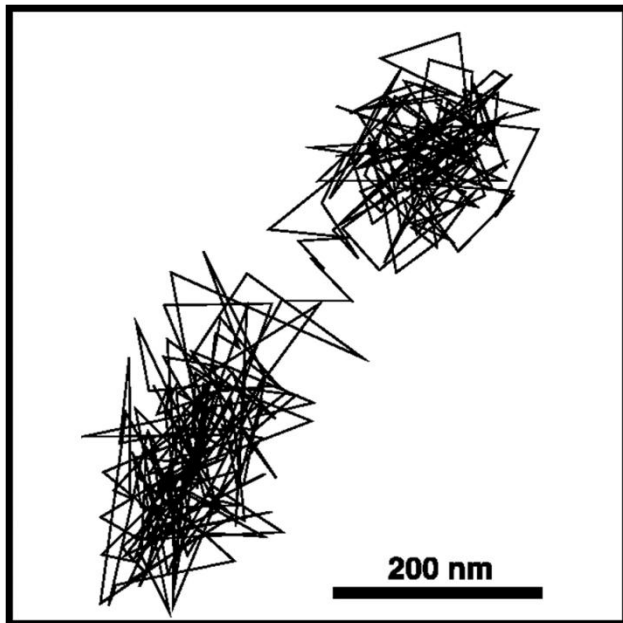
Natura del moto

Si alternano:

- periodo di **intrappolamento** della particella nella gabbia
- periodo di **fuga**: la particella torna a seguire una legge diffusiva

$$\langle \Delta x^2 \rangle \propto D \cdot t$$

Punto di incontro dei due andamenti: $\tau_\alpha \approx 500 \text{ s}$



Traiettoria tipica per 100 min a una concentrazione di 0.56.

Immagine: Fonte [1]



TEMPO DI RIARRANGIAMENTO DELLA GABBIA

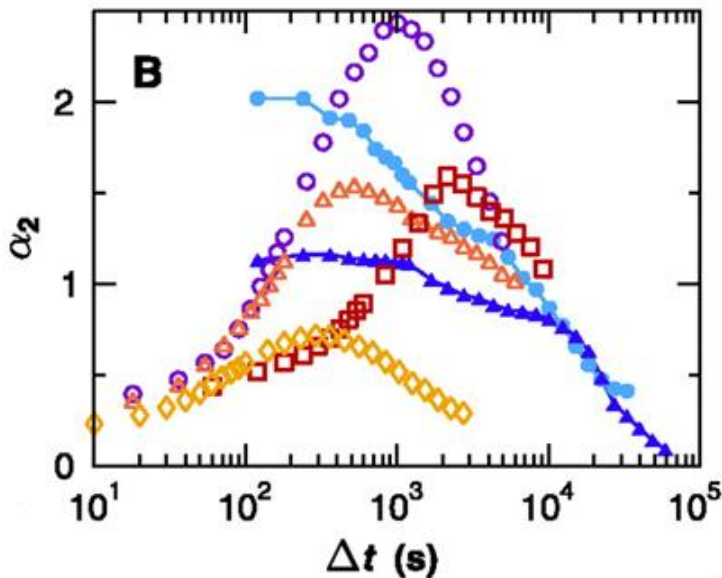
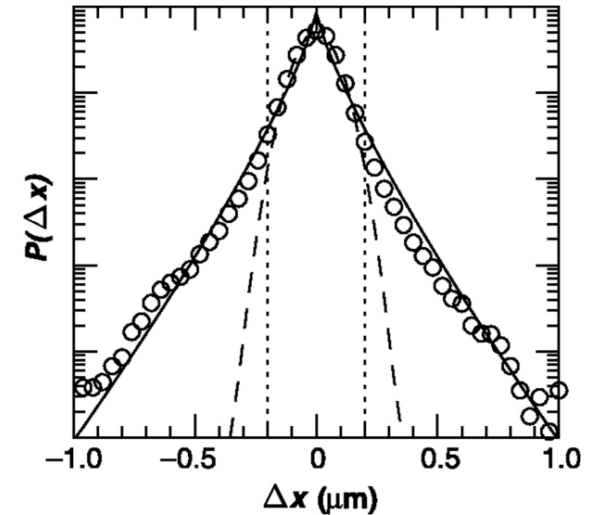
Per $\phi = 0.56$, a $\Delta t^* = 1000$ s.
 Linea trattaggiata: fit gaussiano. Dentro linee a puntini il 95% delle più lente.

Distribuzione degli spostamenti

Avremmo distribuzione gaussiana per particelle con un moto diffusivo puro

Deviazioni dalla gaussiana quantificate da:

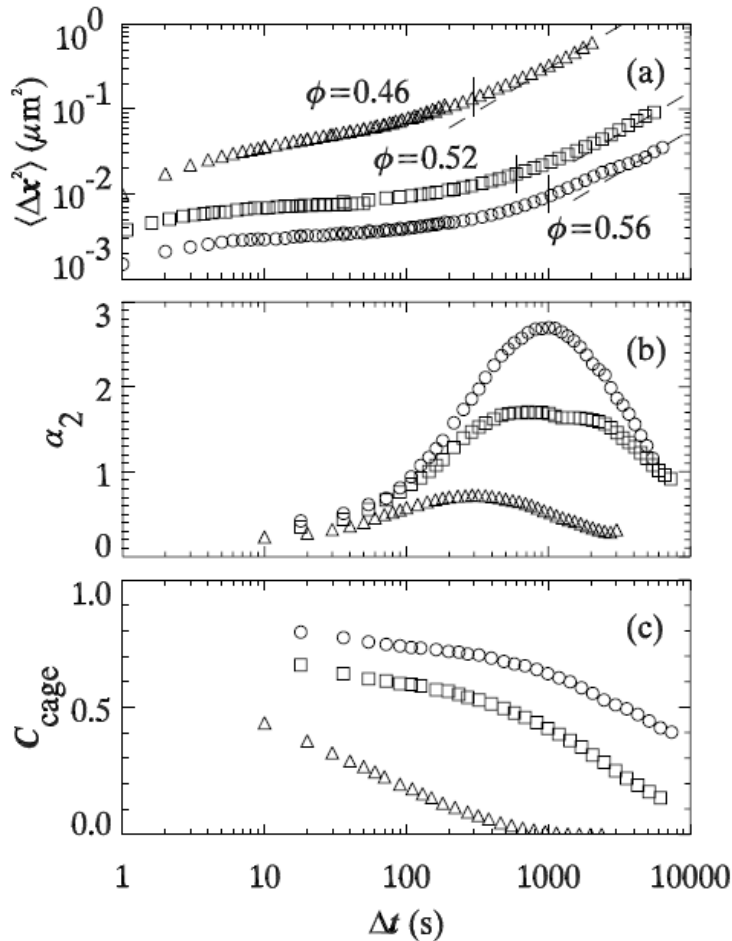
$$\alpha_2(\Delta t) = \frac{\langle \Delta x^4 \rangle}{3\langle \Delta x^2 \rangle^2} - 1$$



- Il massimo di $\alpha_2(\Delta t^*)$ è in corrispondenza del rilassamento strutturale
- Avvicinandosi alla T.V. cresce il valore di picco
- Per il vetro (simboli pieni) il picco si abbassa e la distribuzione è più larga
- Identifichiamo tale cambiamento con la T.V. $\phi_G = 0.58 \pm 0.01$



RIARRANGIAMENTO DELLA GABBIA



Riflette il rilassamento strutturale

$C_{\text{cage}}(\Delta t)$ frazione di particelle con gli stessi primi vicini nell'intervallo temporale $[t, t + \Delta t]$ mediato su tutti i t

per $\phi = 0.46$ sono debolmente ingabbiate avvicinandosi alla T.V. l'andamento di discesa è sempre meno accentuato



RIARRANGIAMENTO DELLA GABBIA

Quali particelle sono responsabili del cambiamento topologico?

$$C_{cage}(\Delta t^*, \Delta r)$$

funzione dello spostamento
normalizzato, dove $\bar{r} = \langle \Delta x^2 \rangle^{1/2}$

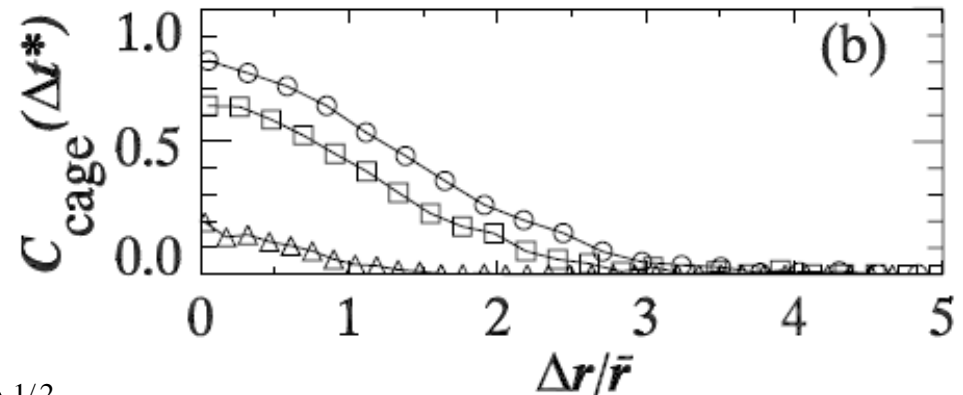


Grafico: Fonte [2]

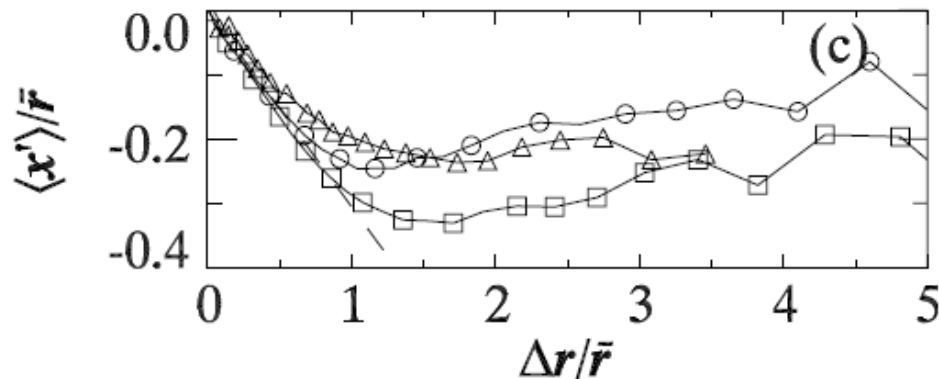
- Le particelle con spostamenti più ampi contribuiscono maggiormente al rilassamento strutturale



DIMENSIONE DELLA GABBIA

○ Correlazione temporale delle singole particelle

Compariamo gli spostamenti consecutivi $\Delta\vec{x}, \Delta\vec{x}'$ di una particella, della durata temporale Δt^*



ci concentriamo sulla componente $x' \parallel \Delta\vec{x}$

Grafico: Fonte [2]

- $\langle x' \rangle$ è negativo per ogni valore dello spostamento iniziale: in media, ogni particella si muove in direzione opposta rispetto a quella iniziale
- Per piccoli spostamenti iniziali, comportamento lineare $\langle x' \rangle = -c |\langle \Delta\vec{r} \rangle|$ moto fortemente anticorrelato ($c = 0.43$) [3]
- Per spostamenti maggiori, questo effetto si affievolisce



DIMENSIONE DELLA GABBIA

- Correlazione temporale delle singole particelle

Identifichiamo la fine del regime lineare con le dimensioni della gabbia: r_{cage}

- MSD al tempo del riarrangiamento della gabbia

Lo spostamento quadratico medio delle particelle:

$$r_{msd} = \langle \Delta r^2(\Delta t^*) \rangle^{1/2}$$

- Soglia del 95% del campione più lento

$$\Delta r^*(\Delta t^*)$$

scelto in modo che il 5% delle particelle, al tempo di riarrangiamento della gabbia, abbiano percorso $\Delta r > \Delta r^*$



DIMENSIONE E TEMPO DI VITA DELLA GABBIA

ϕ	Cage size (μm)			Time scales (hr)		D_{∞} ($\mu\text{m}^2/\text{s}$)
	r_{cage}	r_{msd}	Δr^*	Δt^*	Δt^{**}	
0.46	0.75	0.63	1.12	0.083	0.52	$15 \cdot 10^{-5}$
0.52	0.35	0.23	0.40	0.17	2.1	$0.80 \cdot 10^{-5}$
0.53	0.45	0.27	0.49	0.67	9.4	$0.30 \cdot 10^{-5}$
0.56	0.25	0.17	0.29	0.28	3.3	$0.26 \cdot 10^{-5}$

Fonte [2]



RANDOM WALK

Utilizziamo le dimensioni della gabbia per modellizzare il moto della particella come un random walk, che alterna

- passi (riarrangiamento della gabbia)
- pause (intrappolamento)

In un random walk unidimensionale, il coefficiente di diffusione asintotico per il teorema del limite centrale è [2]:

$$D_{\infty} = \frac{(r_{cage})^2}{2\Delta t^{**}}$$

Δt^{**} è il tempo medio tra due passi, ossia il tempo di vita medio della gabbia

$\Delta t^{**} > \Delta t^*$, la scala di tempo per una particella di muoversi durante un riarrangiamento della gabbia.

Poichè r_{cage} è finito vicino a ϕ_G , la discesa rapida di D_{∞} dovuta principalmente dall'incremento di Δt^{**}



DIMENSIONE E TEMPO DI VITA DELLA GABBIA

ϕ	Cage size (μm)			Time scales (hr)		D_∞ ($\mu\text{m}^2/\text{s}$)
	r_{cage}	r_{msd}	Δr^*	Δt^*	Δt^{**}	
0.46	0.75	0.63	1.12	0.083	0.52	$15 \cdot 10^{-5}$
0.52	0.35	0.23	0.40	0.17	2.1	$0.80 \cdot 10^{-5}$
0.53	0.45	0.27	0.49	0.67	9.4	$0.30 \cdot 10^{-5}$
0.56	0.25	0.17	0.29	0.28	3.3	$0.26 \cdot 10^{-5}$

Random walk unidimensionale?

$$D_\infty = \frac{(r_{\text{cage}})^2}{2\Delta t^{**}}$$

6



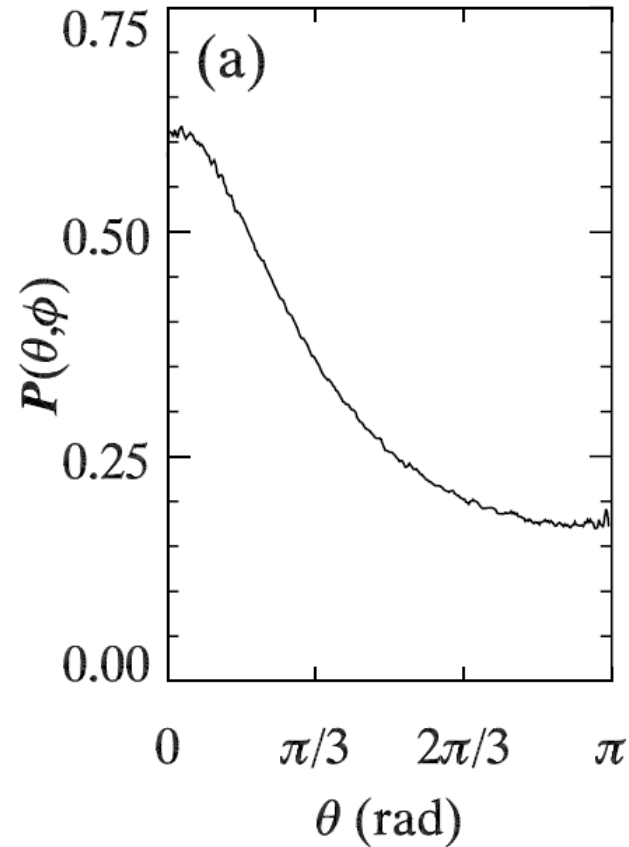
0.17
0.71
3.13
1.11

Fonte [2]



CORRELAZIONE DEI PRIMI VICINI

- moto in direzione parallela, strings-like
- meno probabili le “regioni di mixing”, responsabili dei cambiamenti topologici



Distribuzione in probabilità dell'angolo tra i vettori di due primi vicini.

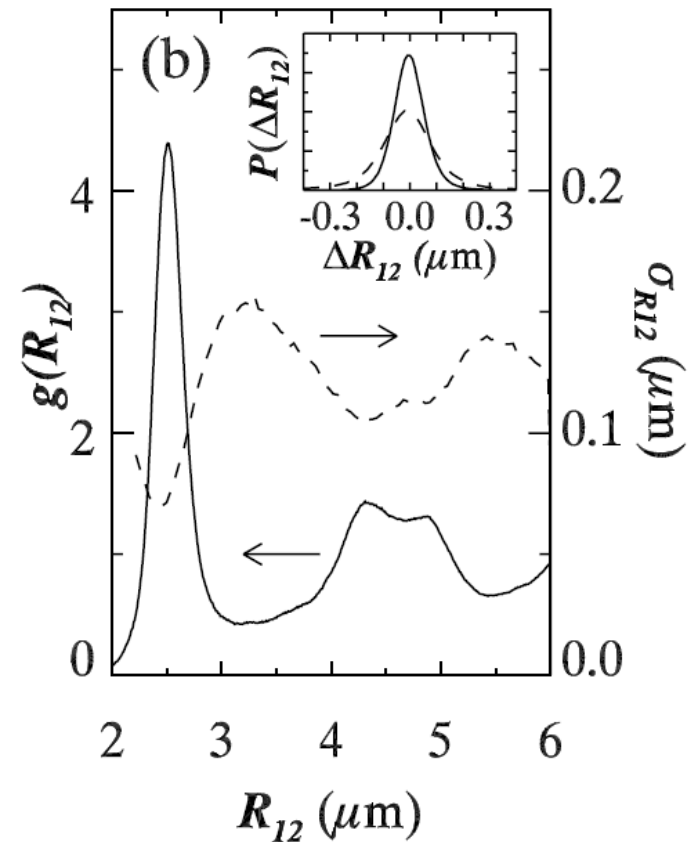
Fonte [2]



CORRELAZIONE DEI PRIMI VICINI

Nel riquadro $P(\Delta R_{12} | R_{12}, \Delta t^*)$
per distanza iniziale pari al picco
di $g(r)$ (continua) e al minimo
(tratteggiata)

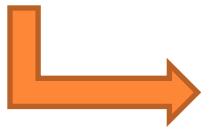
Le particelle, la cui separazione
corrisponde ai picchi della $g(r)$,
sono favorite a mantenere la
stessa distanza (cluster)



MOTO CORRELATO A CORTO E LUNGO RANGE

Due possibilità:

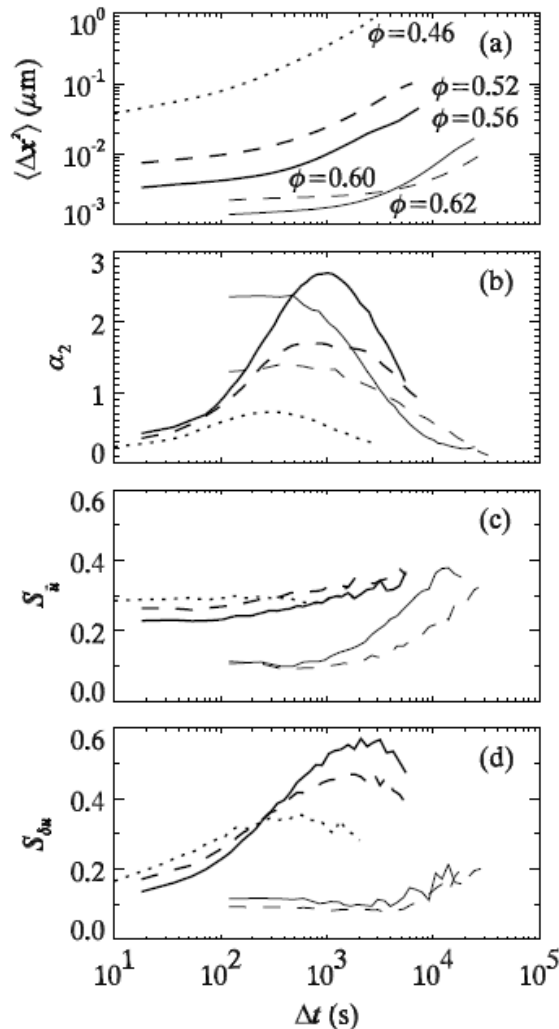
- 1) le particelle coinvolte nel riarrangiamento della gabbia si muovano in direzioni parallele
- 2) la *mobilità* delle particelle sia correlata su lunghe distanze



il modulo dello spostamento $u = |\vec{u}|$
al quale spesso viene sottratta la media $\delta u \equiv u - \langle u \rangle$



CORRELAZIONE TEMPORALE



$$S_{\vec{u}}(\Delta r, \Delta t) = \frac{\langle \vec{u}_i \cdot \vec{u}_j \rangle}{\langle u^2 \rangle}$$

$$S_{\delta u}(\Delta r, \Delta t) = \frac{\langle \delta u_i \delta u_j \rangle}{\langle (\delta u)^2 \rangle}$$

Δr al 1° max di $g(r)$

- le particelle veloci (fuori gaussiana) sono responsabili dell'incremento di correlazione nella mobilità
- a tempi brevi $S_{\vec{u}} < S_{\delta u}$ mentre per tempi dell'ordine di Δt^* vale il contrario



I riarrangiamenti di gabbia riflettono regioni di ristrutturazione interna piuttosto che traslazioni cooperative, su larghe scale temporali



CORRELAZIONE SPAZIALE

Δt che massimizza $S_{\delta u}$

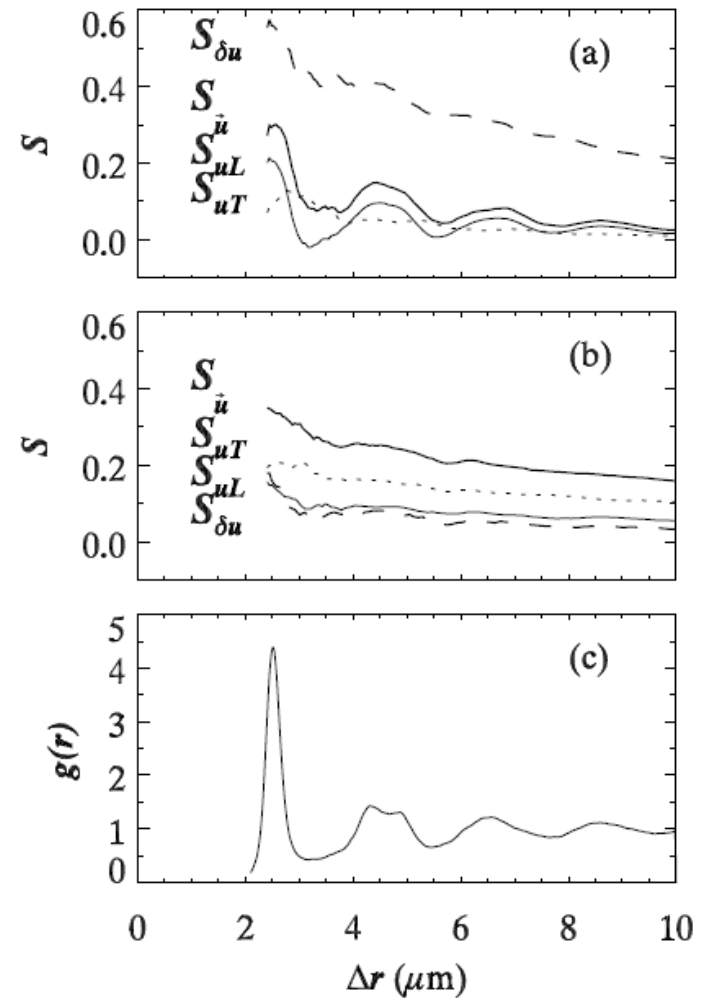
- correlazione con la $g(r)$: mobilità meno sensibile della direzionalità

➔ Riarrangiamenti coinvolgono regioni con alta mobilità, sebbene all'interno di queste le direzioni delle particelle siano influenzate dalla $g(r)$

- le oscillazioni della $S_{\bar{u}}$ sono quasi interamente dovute al contributo longitudinale

➔ Moti “string-like” dei primi vicini

- il contributo longitudinale mostra un'anticorrelazione a $\Delta r \approx 3.2 \mu\text{m}$: moto antiparallelo



F. di correlazione per $\phi=0.56$ e per $\phi=0.62$
Fonte [4]



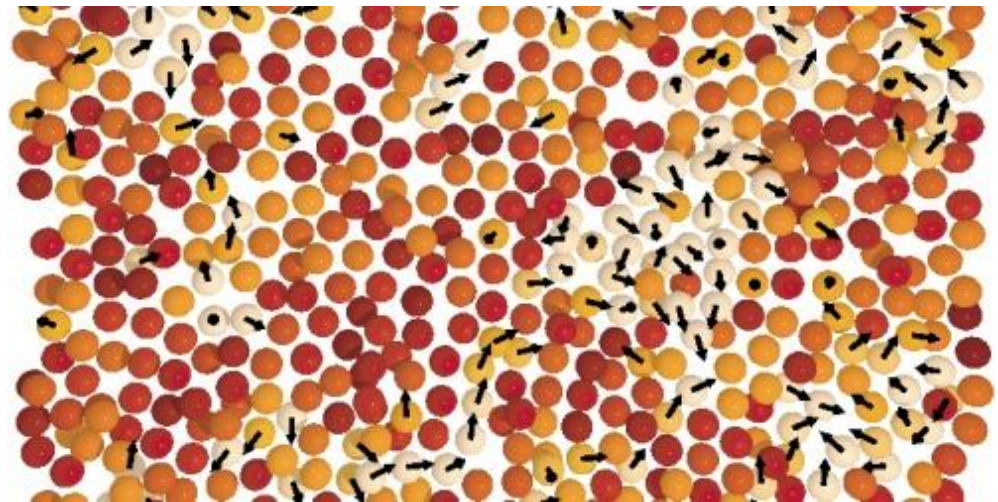
MOTO COOPERATIVO

Per fluidi sottoraffreddati...

le particelle veloci sono
spazialmente correlate



formazione di
cluster estesi

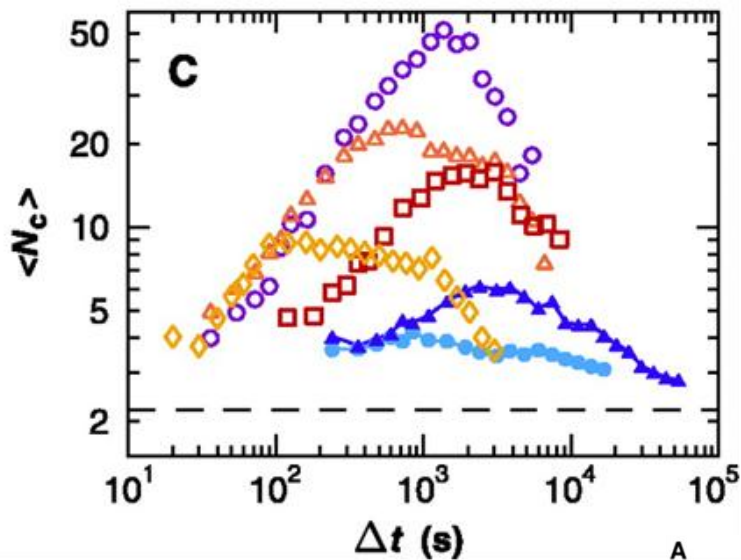


Fonte [2]

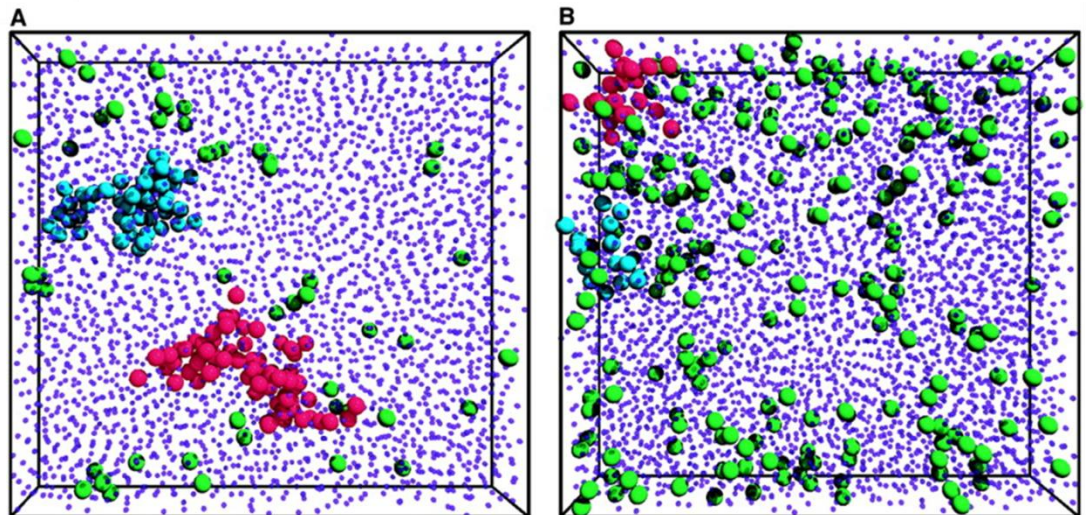
Il rilassamento strutturale in fluidi colloidali avviene
per mezzo del moto cooperativo delle particelle



DIMENSIONI DEI CLUSTER



- Il numero massimo di particelle si ha al tempo di rilassamento strutturale
- La dimensione dei cluster cresce all'aumentare della frazione in volume, consistentemente con l'ipotesi di Adam e Gibbs



In alto: numero medio di particelle che compongono un cluster.
Di lato: disposizione delle particelle più veloci per $\phi=0.56$ e per $\phi=0.61$
Fonte [1]

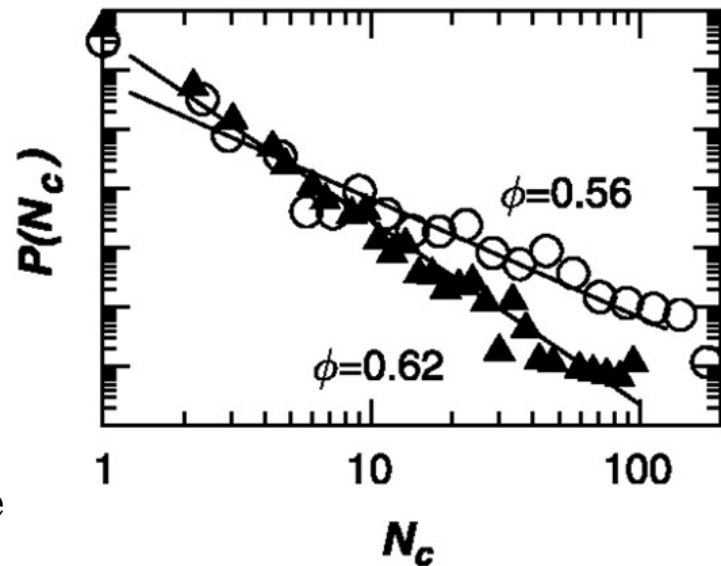
DIMENSIONI DEI CLUSTER

Distribuzione delle dimensioni dei cluster

$$P(n_c) \approx n_c^{-\mu}$$

per i liquidi sottoraffreddati (pallini): $\mu = 2.2 \pm 0.2$

- Esponente minore di 3 implica che le quantità dipendenti da $\langle n_c^2 \rangle$ saranno dominate dai cluster più grandi.
- Il rilassamento strutturale avviene per mezzo di un piccolo numero di cluster estesi formati da particelle veloci di moto cooperativo.



Distribuzione in probabilità delle dimensioni dei cluster, per liquido sottoraffreddato (cerchi) e per il vetro (triangoli).

Fonte [1]



BIBLIOGRAFIA

- [1] E. R. Weeks, J. C. Crocker, A. C. Levitt, A. Schofield, D. A. Weitz, Three-dimensional direct imaging of structural relaxation near the colloidal glass transition, *Science* **287**, 627 (2000)
- [2] E. R. Weeks, D. A. Weitz, Properties of cage rearrangements observed near the colloidal glass transition, *Phys. Rev. Lett.* **89**, 095704 (2002)
- [3] B Doliwa and A. Heuer, Cage effect, local anisotropies and dynamic heterogeneities at the glass transition: a computer study of hard spheres, *Phys. Rev. Lett.* **80**, 4915 (1998)
- [4] E. R. Weeks, J. C. Crocker, D. A. Weitz, Short- and long-range correlated motion observed in colloidal glasses and liquids, *J. Phys.: Condens. Matter* **19**, 205131 (2007)
- [5] www.physics.emory.edu/~weeks/idl/gofr.html, What is the pair correlation function $g(r)$?

